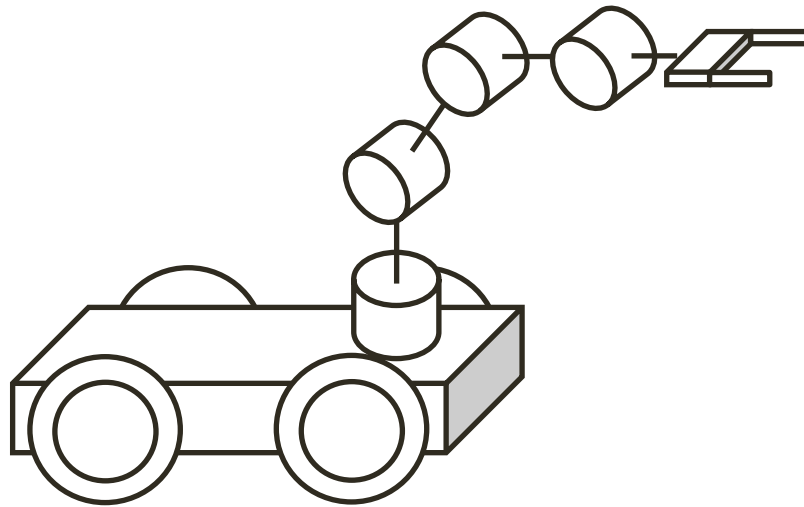


# Modelo cinemático del manipulador móvil

Dr. José de Jesús Hernández Barragán  
josed.hernandezb@academicos.udg.mx

# Introducción

Los robots manipuladores móviles están compuestos por una plataforma móvil y uno o más manipuladores adheridos a la plataforma.



La cinemática de un manipulador móvil combina la cinemática de la plataforma móvil y del manipulador.

# Introducción (continuación)

Existen diversas combinaciones de plataformas móviles y manipuladores. Por ejemplo:



Ejemplo 1



Ejemplo 2



Ejemplo 3

**Ejemplo 1, imagen recuperada de:** [robotnik.eu/es/productos/manipuladores-moviles/manipuladores-xl-gen/](http://robotnik.eu/es/productos/manipuladores-moviles/manipuladores-xl-gen/)

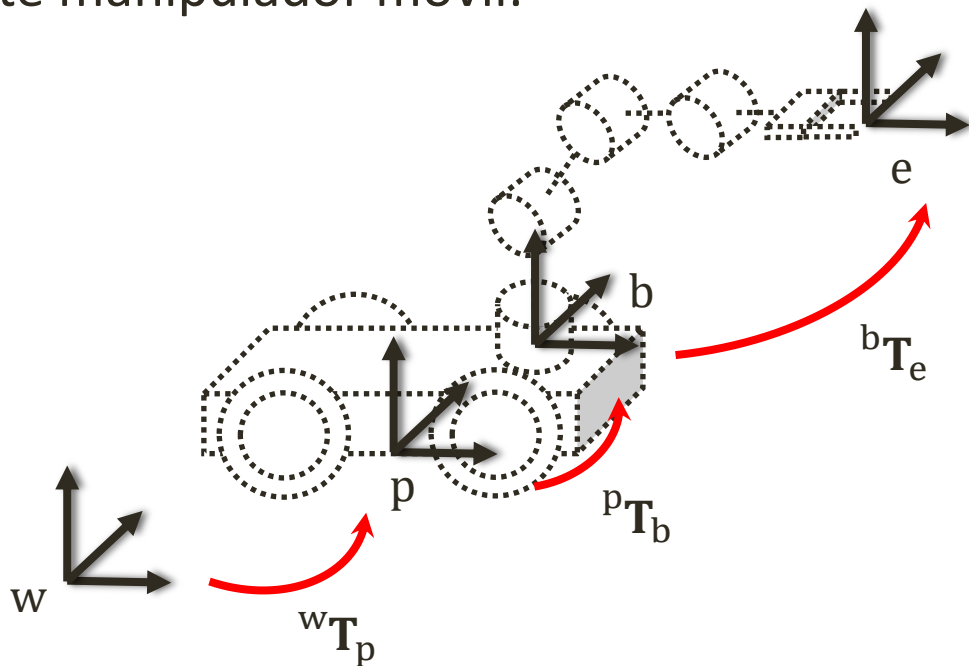
**Ejemplo 2, imagen recuperada de:** [pinterest.com.mx/pin/373306256598726427/](https://pinterest.com.mx/pin/373306256598726427/)

**Ejemplo 3, imagen recuperada de:** [robotmilitar.org](http://robotmilitar.org)

# Cinemática directa

Consideremos el siguiente manipulador móvil:

- “w” es el eje coordenado del origen
- “p” es el eje coordenado adherido a la plataforma
- “b” es el eje coordenado base del manipulador
- “e” es el eje coordenado del actuador final



La cinemática directa para el actuador final del manipulador móvil se puede calcular como:

$${}^wT_e = {}^wT_p {}^pT_b {}^bT_e$$

# Cinemática directa (continuación)

Para calcular  ${}^w\mathbf{T}_p$  debemos tener en cuenta la pose de la plataforma móvil. Definimos

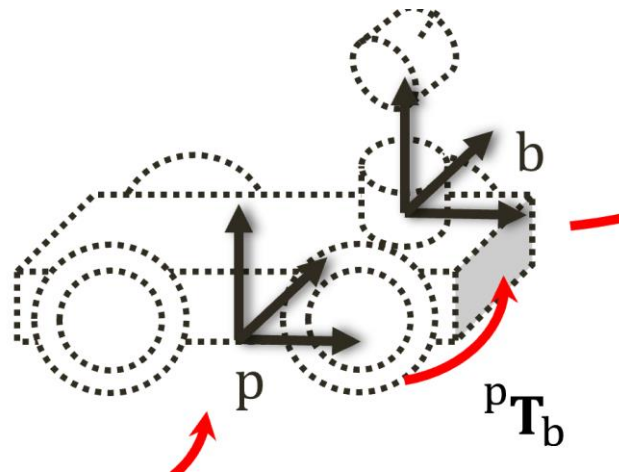
$$\mathbf{p}_{base} = \begin{bmatrix} x_b \\ y_b \\ \theta_b \end{bmatrix}$$

Podemos construir la transformación homogénea  ${}^w\mathbf{T}_p$  como

$${}^w\mathbf{T}_p = \begin{bmatrix} \cos(\theta_b) & -\sin(\theta_b) & 0 & x_b \\ \sin(\theta_b) & \cos(\theta_b) & 0 & y_b \\ 0 & 0 & 1 & 0 \\ 0 & 0 & 0 & 1 \end{bmatrix}$$

# Cinemática directa (continuación)

Para calcular  ${}^p\mathbf{T}_b$  debemos consultar la hoja de datos del fabricante o medir físicamente la posición del manipulador con respecto a la base móvil.



# Cinemática directa (continuación)

Para calcular la matriz homogénea  ${}^b\mathbf{T}_e$  debemos resolver la cinemática directa del manipulador.

La cinemática directa la podemos calcular utilizando

- La convención de Denavit-Hartenberg (DH)
- Método geométrico

Por conveniencia se propone utilizar la convención DH.

# Cinemática directa (continuación)

Podemos calcular la cinemática directa de un manipulador como

$${}^0\mathbf{T}_n(\mathbf{q}_{arm}) = {}^0\mathbf{T}_1(q_1) {}^1\mathbf{T}_2(q_2) {}^2\mathbf{T}_3(q_3) \cdots {}^{n-1}\mathbf{T}_n(q_n)$$

donde  ${}^0\mathbf{T}_n$  representa la pose del actuador final y  $n$  es el total de DOF.

El vector de coordenadas generalizadas  $\mathbf{q}_{arm}$  contiene la configuración de las articulaciones del manipulador

$$\mathbf{q}_{arm} = [q_1 \quad q_2 \quad q_3 \quad \cdots \quad q_n]^T$$

donde

$$q_i = \begin{cases} \theta_i & \text{si } i \text{ es rotacional} \\ d_i & \text{si } i \text{ es prismática} \end{cases}$$



# Cinemática directa (continuación)

La matriz homogénea  ${}^{i-1}\mathbf{T}_i$  se calcula de la siguiente manera

$${}^{i-1}\mathbf{T}_i = \begin{bmatrix} \cos(\theta_i) & -\sin(\theta_i) \cos(\alpha_i) & \sin(\theta_i) \sin(\alpha_i) & a_i \cos(\theta_i) \\ \sin(\theta_i) & \cos(\theta_i) \cos(\alpha_i) & -\cos(\theta_i) \sin(\alpha_i) & a_i \sin(\theta_i) \\ 0 & \sin(\alpha_i) & \cos(\alpha_i) & d_i \\ 0 & 0 & 0 & 1 \end{bmatrix}$$

donde se considera una rotación  $\theta_i$  en el eje  $z_i$ , translaciones  $a_i, d_i$  en los ejes  $x_i$  y  $z_i$  respectivamente, y una rotación  $\alpha_i$  en el eje  $x_i$ .

Finalmente, tenemos que  ${}^b\mathbf{T}_e = {}^0\mathbf{T}_n(\mathbf{q}_{arm})$ .

# Cinemática inversa

La cinemática inversa se puede resolver con alguno de los siguientes métodos:

- Cinemática diferencial
- Método geométrico

Podemos calcular la cinemática inversa para un manipulador móvil con base en su cinemática diferencial. La cinemática diferencial esta definida como

$$\dot{\mathbf{x}} = \mathbf{J}(\mathbf{q})\dot{\mathbf{q}}$$

Además, despejando el valor de  $\dot{\mathbf{q}}$  tenemos

$$\dot{\mathbf{q}} = \mathbf{J}(\mathbf{q})^{-1}\dot{\mathbf{x}}$$

donde  $\dot{\mathbf{x}}$  representa el vector de velocidades de variables de actuación.

# Cinemática inversa (continuación)

Si definimos la velocidad del actuador final como  $\dot{\mathbf{x}} = \mathbf{e}$ , tenemos

$$\mathbf{e} = (\mathbf{x}_d - \mathbf{x}_i)$$

$$\dot{\mathbf{q}} = \mathbf{J}(\mathbf{q}_i)^{-1}\dot{\mathbf{x}} = \mathbf{J}(\mathbf{q}_i)^{-1}\mathbf{e} = \mathbf{J}(\mathbf{q}_i)^{-1}(\mathbf{x}_d - \mathbf{x}_i)$$

donde

- $\mathbf{x}_d$  es la posición deseada para el actuador final del manipulador móvil
- $\mathbf{x}_i$  es la posición actual para el actuador final
- $\dot{\mathbf{q}}$  y  $\mathbf{q}$  es la velocidad y la posición de las articulaciones del manipulador móvil, respectivamente.

# Cinemática inversa (continuación)

Es conveniente definir una matriz definida positiva  $\mathbf{K}$  (usualmente, diagonal) para ponderar las velocidades del actuador final, es decir

$$\dot{\mathbf{q}} = \mathbf{J}(\mathbf{q}_i)^{-1}(\mathbf{K}\mathbf{e})$$

Si la matriz  $\mathbf{K}$  cumple con ser definida positiva, entonces el error  $\mathbf{e}$  tiende a cero, es decir  $\mathbf{K}\mathbf{e} = 0$ . Por lo tanto, se dice que el sistema es asintóticamente estable.

Recordemos que:

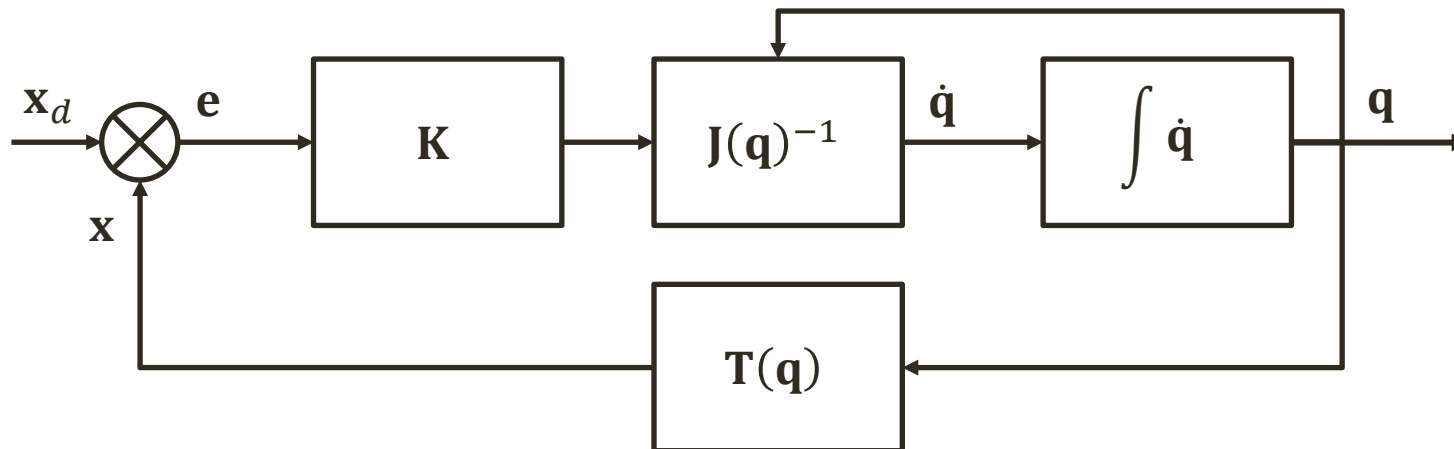
Una matriz  $\mathbf{M} \in \mathbb{R}^{n \times n}$  con valores reales es definida positiva si

- $\mathbf{x}^T \mathbf{M} \mathbf{x} > 0 \quad \forall \mathbf{x} \in \mathbb{R}^n \mid \mathbf{x} \neq \mathbf{0}$
- Los valores propios  $\lambda_i$  de  $\mathbf{M}$  son positivos

Asintóticamente estable – Las condiciones iniciales convergen al punto de equilibrio

# Cinemática inversa (continuación)

El algoritmo de cinemática inversa se muestra en el siguiente diagrama de bloques.



Debemos tener en cuenta que si  $\mathbf{J}(\mathbf{q})^{-1}$  no es cuadrada, entonces es conveniente utilizar la Pseudo inversa de Moore-Penrose.

# Cinemática inversa (continuación)

## Resumen Algoritmo Cinemática Inversa

**Paso 1:** Definir lo siguiente  $\mathbf{x}_d, \mathbf{q}_0, t, \mathbf{K}$

**Paso 2:** Calcular la posición actual  $\mathbf{T}(\mathbf{q}_i)$  (cinemática directa)

**Paso 3:** Calcular el error  $\mathbf{e} = (\mathbf{x}_d - \mathbf{x}_i)$

**Paso 4:** Resolver cinemática diferencial  $\dot{\mathbf{q}} = \mathbf{J}(\mathbf{q}_i)^{-1}(\mathbf{K}\mathbf{e})$

**Paso 5:** Resolver paso de integración  $\mathbf{q}_{i+1} = \mathbf{q}_i + \dot{\mathbf{q}}t$

**Paso 6:** Repetir pasos 2-5 hasta que el error  $\mathbf{e}$  tienda a un valor cercano a cero, es decir  $\mathbf{K}\mathbf{e} \rightarrow 0$

# Aplicabilidad

**Ejemplo 1:** Considere un manipulador compuesto por una plataforma omnidireccional y un manipulador de 3 DOF antropomórfico.

Definimos la siguiente transformación para la plataforma móvil

$${}^w\mathbf{T}_p = \begin{bmatrix} \cos(\theta_b) & -\sin(\theta_b) & 0 & x_b \\ \sin(\theta_b) & \cos(\theta_b) & 0 & y_b \\ 0 & 0 & 1 & 0 \\ 0 & 0 & 0 & 1 \end{bmatrix}$$

$$\mathbf{p}_{base} = \begin{bmatrix} x_b \\ y_b \\ \theta_b \end{bmatrix}$$

# Aplicabilidad (continuación)

Se propone utilizar la siguiente transformación para definir la posición del manipulador con respecto a la base móvil.

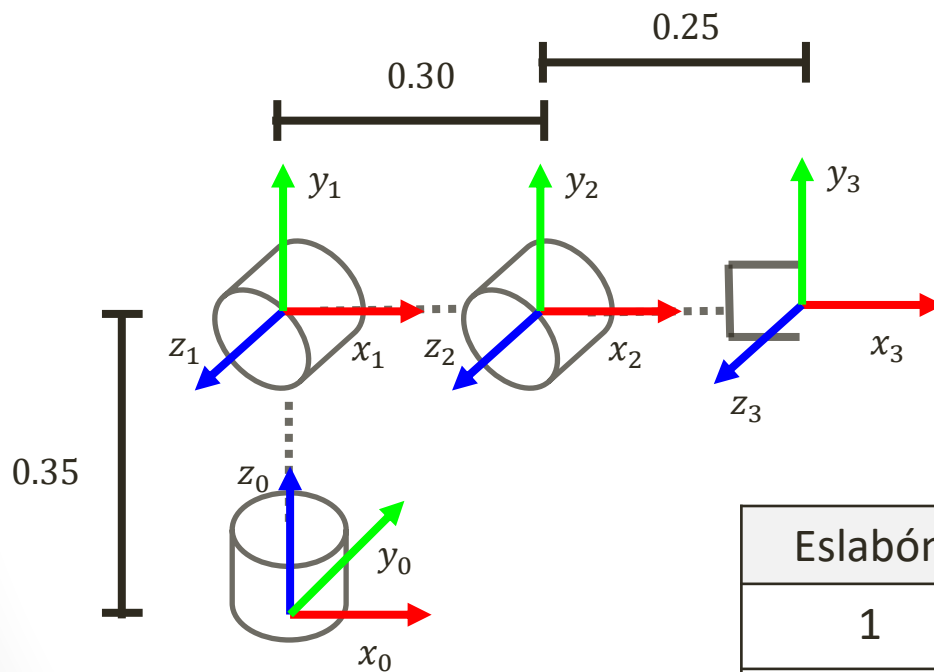
$${}^pT_b = \begin{bmatrix} 1 & 0 & 0 & 0.25 \\ 0 & 1 & 0 & 0 \\ 0 & 0 & 1 & 0.25 \\ 0 & 0 & 0 & 1 \end{bmatrix}$$

Esta matriz contiene los ajustes necesarios para encontrar la transformación homogénea entre los marcos de referencia 'p' y 'b'.



# Aplicabilidad (continuación)

Respecto al manipulador antropomórfico, tenemos lo siguiente



$$\mathbf{q}_{arm} = \begin{bmatrix} \theta_1 \\ \theta_2 \\ \theta_3 \end{bmatrix}$$

Eslabón	$a$	$\alpha$	$d$	$\theta$
1	0	$\pi/2$	0.35	$\theta_1$
2	0.30	0	0	$\theta_2$
3	0.25	0	0	$\theta_3$

# Aplicabilidad (continuación)

Por lo tanto, podemos construir las siguientes matrices homogéneas

$${}^0\mathbf{T}_1 = \begin{bmatrix} \cos(\theta_1) & 0 & \sin(\theta_1) & 0 \\ \sin(\theta_1) & 0 & -\cos(\theta_1) & 0 \\ 0 & 1 & 0 & 0.35 \\ 0 & 0 & 0 & 1 \end{bmatrix}$$

$${}^1\mathbf{T}_2 = \begin{bmatrix} \cos(\theta_2) & -\sin(\theta_2) & 0 & 0.30 \cos(\theta_2) \\ \sin(\theta_2) & \cos(\theta_2) & 0 & 0.30 \sin(\theta_2) \\ 0 & 0 & 1 & 0 \\ 0 & 0 & 0 & 1 \end{bmatrix}$$

$${}^2\mathbf{T}_3 = \begin{bmatrix} \cos(\theta_3) & -\sin(\theta_3) & 0 & 0.25 \cos(\theta_3) \\ \sin(\theta_3) & \cos(\theta_3) & 0 & 0.25 \sin(\theta_3) \\ 0 & 0 & 1 & 0 \\ 0 & 0 & 0 & 1 \end{bmatrix}$$

# Aplicabilidad (continuación)

Dado que  ${}^b\mathbf{T}_e$  representa la cinemática directa del manipulador, entonces tenemos que

$${}^b\mathbf{T}_e = {}^0\mathbf{T}_3 = {}^0\mathbf{T}_1(\theta_1) {}^1\mathbf{T}_2(\theta_2) {}^2\mathbf{T}_3(\theta_3)$$

La cinemática directa para el manipulador móvil se calcula como

$${}^w\mathbf{T}_e = {}^w\mathbf{T}_p(\mathbf{p}_{base}) {}^p\mathbf{T}_b {}^b\mathbf{T}_e(\mathbf{q}_{arm})$$

donde

$$\mathbf{p}_{base} = \begin{bmatrix} x_b \\ y_b \\ \theta_b \end{bmatrix} \quad \mathbf{q}_{arm} = \begin{bmatrix} \theta_1 \\ \theta_2 \\ \theta_3 \end{bmatrix}$$

# Aplicabilidad (continuación)

Para el calculo de la cinemática inversa, partimos de la cinemática diferencial definida como

$$\dot{\mathbf{x}} = \mathbf{J}(\mathbf{q})\dot{\mathbf{q}}$$

donde

$$\mathbf{q} = \begin{bmatrix} x_b \\ y_b \\ \theta_b \\ \theta_1 \\ \theta_2 \\ \theta_3 \end{bmatrix}, \quad \dot{\mathbf{q}} = \begin{bmatrix} \dot{x}_b \\ \dot{y}_b \\ \dot{\theta}_b \\ \dot{\theta}_1 \\ \dot{\theta}_2 \\ \dot{\theta}_3 \end{bmatrix}, \quad \dot{\mathbf{x}} = \begin{bmatrix} \dot{x} \\ \dot{y} \\ \dot{z} \end{bmatrix}$$

# Aplicabilidad (continuación)

La matriz Jacobiana la podemos calcular como

$$\begin{bmatrix} \dot{x} \\ \dot{y} \\ \dot{z} \end{bmatrix} = \begin{bmatrix} \frac{\partial t_x}{\partial x_b} & \frac{\partial t_x}{\partial y_b} & \frac{\partial t_x}{\partial \theta_b} & \frac{\partial t_x}{\partial \theta_1} & \frac{\partial t_x}{\partial \theta_2} & \frac{\partial t_x}{\partial \theta_3} \\ \frac{\partial t_y}{\partial x_b} & \frac{\partial t_y}{\partial y_b} & \frac{\partial t_y}{\partial \theta_b} & \frac{\partial t_y}{\partial \theta_1} & \frac{\partial t_y}{\partial \theta_2} & \frac{\partial t_y}{\partial \theta_3} \\ \frac{\partial t_z}{\partial x_b} & \frac{\partial t_z}{\partial y_b} & \frac{\partial t_z}{\partial \theta_b} & \frac{\partial t_z}{\partial \theta_1} & \frac{\partial t_z}{\partial \theta_2} & \frac{\partial t_z}{\partial \theta_3} \end{bmatrix} \begin{bmatrix} \dot{x}_b \\ \dot{y}_b \\ \dot{\theta}_b \\ \dot{\theta}_1 \\ \dot{\theta}_2 \\ \dot{\theta}_3 \end{bmatrix}$$

donde las funciones  $t_x$ ,  $t_y$  y  $t_z$  las podemos obtener a partir de

$${}^w\mathbf{T}_e = \begin{bmatrix} r_{11} & r_{12} & r_{13} & t_x \\ r_{21} & r_{22} & r_{23} & t_y \\ r_{31} & r_{32} & r_{33} & t_z \\ 0 & 0 & 0 & 1 \end{bmatrix}$$

# Aplicabilidad (continuación)

Podemos calcular la cinemática inversa del manipulador móvil teniendo en cuenta lo siguiente

$$\begin{bmatrix} \dot{x}_b \\ \dot{y}_b \\ \dot{\theta}_b \\ \dot{\theta}_1 \\ \dot{\theta}_2 \\ \dot{\theta}_3 \end{bmatrix} = \begin{bmatrix} \frac{\partial t_x}{\partial x_b} & \frac{\partial t_x}{\partial y_b} & \frac{\partial t_x}{\partial \theta_b} & \frac{\partial t_x}{\partial \theta_1} & \frac{\partial t_x}{\partial \theta_2} & \frac{\partial t_x}{\partial \theta_3} \\ \frac{\partial t_y}{\partial x_b} & \frac{\partial t_y}{\partial y_b} & \frac{\partial t_y}{\partial \theta_b} & \frac{\partial t_y}{\partial \theta_1} & \frac{\partial t_y}{\partial \theta_2} & \frac{\partial t_y}{\partial \theta_3} \\ \frac{\partial t_z}{\partial x_b} & \frac{\partial t_z}{\partial y_b} & \frac{\partial t_z}{\partial \theta_b} & \frac{\partial t_z}{\partial \theta_1} & \frac{\partial t_z}{\partial \theta_2} & \frac{\partial t_z}{\partial \theta_3} \end{bmatrix}^{\dagger} \begin{bmatrix} \dot{x} \\ \dot{y} \\ \dot{z} \end{bmatrix}$$

† pseudo inversa

# Aplicabilidad (continuación)

Expresamos la cinemática inversa del manipulador móvil en función de un error

$$\begin{bmatrix} \dot{x}_b \\ \dot{y}_b \\ \dot{\theta}_b \\ \dot{\theta}_1 \\ \dot{\theta}_2 \\ \dot{\theta}_3 \end{bmatrix} = \begin{bmatrix} \frac{\partial t_x}{\partial x_b} & \frac{\partial t_x}{\partial y_b} & \frac{\partial t_x}{\partial \theta_b} & \frac{\partial t_x}{\partial \theta_1} & \frac{\partial t_x}{\partial \theta_2} & \frac{\partial t_x}{\partial \theta_3} \\ \frac{\partial t_y}{\partial x_b} & \frac{\partial t_y}{\partial y_b} & \frac{\partial t_y}{\partial \theta_b} & \frac{\partial t_y}{\partial \theta_1} & \frac{\partial t_y}{\partial \theta_2} & \frac{\partial t_y}{\partial \theta_3} \\ \frac{\partial t_z}{\partial x_b} & \frac{\partial t_z}{\partial y_b} & \frac{\partial t_z}{\partial \theta_b} & \frac{\partial t_z}{\partial \theta_1} & \frac{\partial t_z}{\partial \theta_2} & \frac{\partial t_z}{\partial \theta_3} \end{bmatrix}^{\dagger} \begin{bmatrix} x_d - x \\ y_d - y \\ z_d - z \end{bmatrix}$$

donde  $(x_d, y_d, z_d)$  es una referencia y  $(x, y, z)$  es la posición actual del actuador final.

# Aplicabilidad (continuación)

Agregamos a la cinemática inversa del manipulador móvil una matriz para la controlabilidad del sistema

$$\begin{bmatrix} \dot{x}_b \\ \dot{y}_b \\ \dot{\theta}_b \\ \dot{\theta}_1 \\ \dot{\theta}_2 \\ \dot{\theta}_3 \end{bmatrix} = \begin{bmatrix} \frac{\partial t_x}{\partial x_b} & \frac{\partial t_x}{\partial y_b} & \frac{\partial t_x}{\partial \theta_b} & \frac{\partial t_x}{\partial \theta_1} & \frac{\partial t_x}{\partial \theta_2} & \frac{\partial t_x}{\partial \theta_3} \\ \frac{\partial t_y}{\partial x_b} & \frac{\partial t_y}{\partial y_b} & \frac{\partial t_y}{\partial \theta_b} & \frac{\partial t_y}{\partial \theta_1} & \frac{\partial t_y}{\partial \theta_2} & \frac{\partial t_y}{\partial \theta_3} \\ \frac{\partial t_z}{\partial x_b} & \frac{\partial t_z}{\partial y_b} & \frac{\partial t_z}{\partial \theta_b} & \frac{\partial t_z}{\partial \theta_1} & \frac{\partial t_z}{\partial \theta_2} & \frac{\partial t_z}{\partial \theta_3} \end{bmatrix}^{\dagger} \begin{bmatrix} k_1 & 0 & 0 \\ 0 & k_2 & 0 \\ 0 & 0 & k_3 \end{bmatrix} \begin{bmatrix} x_d - x \\ y_d - y \\ z_d - z \end{bmatrix}$$

donde  $k_1$ ,  $k_2$  y  $k_3$  son ganancias positivas.



# Aplicabilidad (continuación)

Finalmente, utilizamos el modelo del omnidireccional para mapear las velocidades  $(\dot{x}_b, \dot{y}_b, \dot{\theta}_b)$  a cada una de las velocidades de las ruedas de la plataforma.

Modelo omnidireccional de 4 ruedas:

$$\begin{bmatrix} v_1 \\ v_2 \\ v_3 \\ v_4 \end{bmatrix} = \begin{bmatrix} 1 & -1 & -(L+l) \\ 1 & 1 & (L+l) \\ 1 & 1 & -(L+l) \\ 1 & -1 & (L+l) \end{bmatrix} \begin{bmatrix} \cos(\theta) & -\sin(\theta) & 0 \\ \sin(\theta) & \cos(\theta) & 0 \\ 0 & 0 & 1 \end{bmatrix}^T \begin{bmatrix} \dot{x}_b \\ \dot{y}_b \\ \dot{\theta}_b \end{bmatrix}$$

o también,

$$\begin{bmatrix} v_1 \\ v_2 \\ v_3 \\ v_4 \end{bmatrix} = \begin{bmatrix} \sqrt{2} \sin(\alpha) & -\sqrt{2} \cos(\alpha) & -(L+l) \\ \sqrt{2} \cos(\alpha) & \sqrt{2} \sin(\alpha) & (L+l) \\ \sqrt{2} \cos(\alpha) & \sqrt{2} \sin(\alpha) & -(L+l) \\ \sqrt{2} \sin(\alpha) & -\sqrt{2} \cos(\alpha) & (L+l) \end{bmatrix} \begin{bmatrix} \dot{x} \\ \dot{y} \\ \dot{\theta} \end{bmatrix}, \quad \alpha = \theta + \pi/4$$

# Aplicabilidad (continuación)

Modelo omnidireccional de 3 ruedas:

$$\begin{bmatrix} v_1 \\ v_2 \\ v_3 \end{bmatrix} = \begin{bmatrix} -\sin(\theta) & \cos(\theta) & L \\ -\sin(\theta + 2\pi/3) & \cos(\theta + 2\pi/3) & L \\ -\sin(\theta + 4\pi/3) & \cos(\theta + 4\pi/3) & L \end{bmatrix} \begin{bmatrix} \dot{x}_b \\ \dot{y}_b \\ \dot{\theta}_b \end{bmatrix}$$

# Aplicabilidad (continuación)

**Ejemplo 2:** Considere un manipulador compuesto por una plataforma modelo monociclo y un manipulador de 3 DOF antropomórfico.

En este caso, la cinemática directa se define igual que el caso de la plataforma omnidireccional.

$${}^w\mathbf{T}_e = {}^w\mathbf{T}_p(\mathbf{p}_{base}) {}^p\mathbf{T}_b {}^b\mathbf{T}_e(\mathbf{q}_{arm})$$

Sin embargo, es necesario considerar las restricciones del modelo monociclo para limitar el movimiento de la plataforma.

# Aplicabilidad (continuación)

Dada la restricción no-holonómica del monociclo y expresada de manera vectorial, tenemos

$$\dot{x}_b \sin(\theta) - \dot{y}_b \cos(\theta) = 0$$

$$[\sin(\theta) \quad -\cos(\theta) \quad 0] \begin{bmatrix} \dot{x}_b \\ \dot{y}_b \\ \dot{\theta}_b \end{bmatrix} = 0$$

# Aplicabilidad (continuación)

Utilizando el modelo Jacobiano e incluyendo la restricción no-holonómica en la matriz Jacobiana, expresamos la cinemática diferencial como

$$\begin{bmatrix} \dot{x} \\ \dot{y} \\ \dot{z} \\ 0 \end{bmatrix} = \begin{bmatrix} \frac{\partial t_x}{\partial x_b} & \frac{\partial t_x}{\partial y_b} & \frac{\partial t_x}{\partial \theta_b} & \frac{\partial t_x}{\partial \theta_1} & \frac{\partial t_x}{\partial \theta_2} & \frac{\partial t_x}{\partial \theta_3} \\ \frac{\partial t_y}{\partial x_b} & \frac{\partial t_y}{\partial y_b} & \frac{\partial t_y}{\partial \theta_b} & \frac{\partial t_y}{\partial \theta_1} & \frac{\partial t_y}{\partial \theta_2} & \frac{\partial t_y}{\partial \theta_3} \\ \frac{\partial t_z}{\partial x_b} & \frac{\partial t_z}{\partial y_b} & \frac{\partial t_z}{\partial \theta_b} & \frac{\partial t_z}{\partial \theta_1} & \frac{\partial t_z}{\partial \theta_2} & \frac{\partial t_z}{\partial \theta_3} \\ \sin(\theta) & -\cos(\theta) & 0 & 0 & 0 & 0 \end{bmatrix} \begin{bmatrix} \dot{x}_b \\ \dot{y}_b \\ \dot{\theta}_b \\ \dot{\theta}_1 \\ \dot{\theta}_2 \\ \dot{\theta}_3 \end{bmatrix}$$

# Aplicabilidad (continuación)

Finalmente, agregamos a la cinemática inversa del manipulador móvil una matriz para la controlabilidad del sistema

$$\begin{bmatrix} \dot{x}_b \\ \dot{y}_b \\ \dot{\theta}_b \\ \dot{\theta}_1 \\ \dot{\theta}_2 \\ \dot{\theta}_3 \end{bmatrix} = \begin{bmatrix} \frac{\partial t_x}{\partial x_b} & \frac{\partial t_x}{\partial y_b} & \frac{\partial t_x}{\partial \theta_b} & \frac{\partial t_x}{\partial \theta_1} & \frac{\partial t_x}{\partial \theta_2} & \frac{\partial t_x}{\partial \theta_3} \\ \frac{\partial t_y}{\partial x_b} & \frac{\partial t_y}{\partial y_b} & \frac{\partial t_y}{\partial \theta_b} & \frac{\partial t_y}{\partial \theta_1} & \frac{\partial t_y}{\partial \theta_2} & \frac{\partial t_y}{\partial \theta_3} \\ \frac{\partial t_z}{\partial x_b} & \frac{\partial t_z}{\partial y_b} & \frac{\partial t_z}{\partial \theta_b} & \frac{\partial t_z}{\partial \theta_1} & \frac{\partial t_z}{\partial \theta_2} & \frac{\partial t_z}{\partial \theta_3} \\ \sin(\theta) & -\cos(\theta) & 0 & 0 & 0 & 0 \end{bmatrix}^{\dagger} \begin{bmatrix} k_1 & 0 & 0 & 0 \\ 0 & k_2 & 0 & 0 \\ 0 & 0 & k_3 & 0 \\ 0 & 0 & 0 & 0 \end{bmatrix} \begin{bmatrix} x_d - x \\ y_d - y \\ z_d - z \\ 0 \end{bmatrix}$$

donde  $k_1$ ,  $k_2$  y  $k_3$  son ganancias positivas.

# Aplicabilidad (continuación)

Finalmente, utilizamos el modelo del monociclo para mapear las velocidades  $(\dot{x}_b, \dot{y}_b, \dot{\theta}_b)$  a cada una de las velocidades  $(v, w)$  de la plataforma.

Modelo monociclo

$$\begin{bmatrix} v \\ w \end{bmatrix} = \begin{bmatrix} \cos(\theta) & \sin(\theta) & 0 \\ 0 & 0 & 1 \end{bmatrix} \begin{bmatrix} \dot{x}_b \\ \dot{y}_b \\ \dot{\theta}_b \end{bmatrix}$$